

## بررسی اثر نانوذره نقره بر فعالیت آنزیم گلیسرول دهیدروژناز با روش سطح پاسخ

### Investigating the effect of silver nanoparticles on the activity of glycerol dehydrogenase by response surface methodology

[https://dorl.net/dor/  
20.1001.1.25885073.1402.12.1.7.1](https://dorl.net/dor/20.1001.1.25885073.1402.12.1.7.1)

DOR: 20.1001.1.25885073.1402.12.1.7.1

Research Article  
Genetic Engineering and Biosafety  
Journal 2023  
Volume 12, Number 1, Pages: 59-67

<http://gebsj.ir/>

<https://ecc.isc.ac/showJournal/23064>

فوزیه مقدمی<sup>۱\*</sup>، فاطمه حاج مرادی<sup>۱</sup>، مهدی کلانتری<sup>۲</sup>

Foozieh Moghadami<sup>1\*</sup>, Fatemeh Hajmoradi<sup>1</sup>, Mahdi Kalantari<sup>2</sup>

۱- استادیار گروه زیست شناسی، دانشگاه پیام نور، تهران، ایران

۲- استادیار گروه آمار، دانشگاه پیام نور، تهران، ایران

1. Assistant Professor, Department of Biology, Payame Noor University, Tehran, Iran

2. Assistant Professor, Department of Statistics, Payame Noor University, Tehran, Iran

\* نویسنده مسئول مکاتبات، پست الکترونیکی: \*Corresponding Author, Email:

fmoghadami@pnu.ac.ir

(تاریخ دریافت: ۱۴۰۱/۱۰/۲۵ - تاریخ پذیرش: ۱۴۰۲/۳/۵)

#### چکیده

استفاده گسترده از نانوذره نقره سبب شده است که آنها به سهولت در دسترس باکتری‌ها قرار گیرند. تعامل بین نانوذره نقره و پروتئین‌ها هنوز به طور کامل شناخته نشده است. در این پژوهش، اثر نانوذره نقره بر گلیسرول دهیدروژناز که در زنجیره تنفسی گلوکونوباکتر قرار دارد مورد بررسی قرار گرفت. جهت بررسی این تاثیر و همچنین برهمکنش‌های عوامل pH و دما، از روش سطح پاسخ و یک طرح مرکب مرکزی استفاده شد. فعالیت آنزیم از طریق روش رنگ سنجی سنجش شد. نتایج نشان داد که افزایش غلظت نانوذره نقره تا ۵۰ میلی گرم بر لیتر سبب کاهش فعالیت آنزیم گلیسرول دهیدروژناز شد. در حضور مقادیر بالاتر از این غلظت، اثر مهار کنندگی نانوذره کاهش یافت. دما تا ۳۵ درجه سلسیوس و pH تا ۷، اثر افزایشی بر فعالیت آنزیم داشتند و پس از آن تاثیر عکس داشتند. هر سه پارامتر دما، pH و غلظت نانوذره مستقل از یکدیگر بر فعالیت آنزیم گلیسرول دهیدروژناز تاثیرگذار بودند. از نتایج این پژوهش می‌توان نتیجه گرفت که نانوذره نقره سبب کاهش فعالیت آنزیم گلیسرول دهیدروژناز می‌شوند که نهایتاً می‌تواند سبب کاهش فعالیت زنجیره تنفسی و تولید انرژی در باکتری گلوکونوباکتر شود. از نتایج این پژوهش می‌توان در کنترل هدفمند فعالیت آنزیم گلیسرول دهیدروژناز جهت تولید دی‌هیدروکسی استن استفاده کرد.

#### واژه‌های کلیدی

دما،

pH

گلوکونوباکتر،

زنجیره تنفسی،

کوآنزیم Q10

**Genetic Engineering and Biosafety Journal**  
**Volume 12, Number 1, 2023**

**Abstract**

The widely used silver nanoparticles made them readily accessible to the bacteria. The interactions between silver nanoparticles and proteins are still not fully understood. In this research, the effect of silver nanoparticles on glycerol dehydrogenase which is located in the respiratory chain of the *Gluconobacter* was investigated. Response Surface Methodology and a central composite design were used to evaluate the activity of enzyme and the interactions of pH and temperatures. Enzyme activity was evaluated by colorimetric method. The results showed that increasing the concentration of silver nanoparticles up to 50 mg/L decreased the activity of glycerol dehydrogenase enzyme. The inhibitory effect of nanoparticles decreased beyond this concentration. The glycerol dehydrogenase activity increased 35°C and pH 7, but the activity decreased thereafter. The parameters of temperature, pH and nanoparticles concentration influenced the activity of glycerol dehydrogenase enzyme independently. It could be concluded that silver nanoparticles decrease the activity of glycerol dehydrogenase, which can ultimately decrease the activity of the respiratory chain and subsequently energy production in *Gluconobacter*. The results of this research can be used in the targeted control of glycerol dehydrogenase activity to produce dihydroxyacetone.

**Keywords:** Temperature, pH, *Gluconobacter*, Respiratory chain, Coenzyme Q<sub>10</sub>

**مقدمه**

گلیسرول دهیدروژناز وابسته به PQQ درون غشای پری پلاسمی باکتری گلوکونوباکتر قرار دارد که از یک سر با فضای پری-پلاسمی و از سر دیگر با سیتوپلاسم در ارتباط است (Adachi et al. 2016). گلوکونوباکترها، یک جنس از باکتری‌های تولید کننده اسیداستیک هستند که دارای چندین نوع زنجیره تنفسی می‌باشند مانند زنجیره تنفسی سوربیتول، اتانول و گلوکز. این زنجیره‌های تنفسی انرژی بیولوژیکی مورد نیاز این میکروارگانیسم‌ها را تامین می‌کنند (Silva et al. 2022). هر زنجیره تنفسی، حاوی دهیدروژنازهای متصل به غشاء و کوآنزیم Q<sub>10</sub> می‌باشد. از اینرو فعالیت این دهیدروژنازها می‌تواند ارتباط تنگاتنگی با افزایش یا کاهش تولید کوآنزیم Q<sub>10</sub> داشته باشد (Bringer et al. 2016).

نانوذرات، ذرات کوچکی هستند (۱ تا ۱۰۰ نانومتر) که به راحتی می‌توانند وارد سلول‌ها و اندامک‌ها شوند. به دلیل ویژگی‌های خاص زیستی و شیمیایی، امروزه نانوذره کاربردهای بیوتکنولوژیک، صنعتی و نانودارویی بسیاری دارند (Saleh et al. 2021; Porzani et al. 2020). مطالعات نشان داده است که نانوذره نقره دارای خواص ضد میکروبی قابل توجهی هستند (Calderon et al. 2017). فرضیه‌های مختلفی برای توجیه خواص ضد باکتریایی نانوذره نقره مطرح می‌باشد؛ از جمله آزاد شدن یون‌های نقره در فضای خارج سلولی و به دنبال آن جذب سلولی و

گلیسرول دهیدروژناز، که جزئی از خانواده بزرگ اکسیدوردوکتازهاست، یک آنزیم پلی‌ال دهیدروژناز است که می‌تواند طیف وسیعی از پلی‌ال‌ها یا قندالکل‌ها نظیر آرابیتول، سوربیتول، مانیتول، اریتریتول و ربیتول را به عنوان سوسترا پذیرفته و سبب اکسیداسیون آنها به کتوزهای مربوطه شود (Adachi et al. 2016). البته این آنزیم می‌تواند گلوکونات را نیز اکسید کرده و ۵-کتوگلوکونات تولید کند. به همین دلیل گاهی اوقات سوربیتول دهیدروژناز و یا گلوکونات ۵-دهیدروژناز نیز نامیده می‌شود (Matsushita et al. 2003). آنزیم گلیسرول دهیدروژناز مرحله اول اکسیداسیون گلیسرول را کاتالیز می‌کند و مسئول استفاده از گلیسرول در میکروارگانیسم‌های مختلف است (Wang et al. 2014). این آنزیم، گلیسرول را به دی هیدروکسی استن، اکسید می‌کند که در صنایع دارویی و آرایشی بسیار مورد توجه می‌باشد (Ciriminna et al. 2018). آنزیم گلیسرول دهیدروژناز، از نظر گروه پروستتیک، به دو نوع تقسیم می‌شود. یک نوع وابسته به NADH که به صورت محلول در سیتوپلاسم می‌باشد و نوع دیگر وابسته به پیرولوکوئینون کینون یا PQQ که مستقر در غشا باکتری‌هاست. نوع دوم در باکتری‌های تولید کننده اسید استیک از جمله جنس گلوکونوباکتر یافت می‌شود. آنزیم

سایر مواد شیمیایی نیز از شرکت‌های Sigma-Aldrich و Merck تهیه شدند.

**باکتری و محیط‌های کشت:** باکتری استفاده شده در این پژوهش، *Gluconobacter japonicus* FM10 بود که در پژوهش‌های قبلی آن را جداسازی و شناسایی کرده بودیم. این سویه بر روی محیط GYC (Glucose Yeast extract Calcium Carbonate) شامل گلوکز ۵۰ گرم بر لیتر، عصاره مخمر ۱۰ گرم بر لیتر، کربنات کلسیم ۳۰ گرم بر لیتر و آگار ۲۵ گرم بر لیتر کشت شد. برای استفاده‌های بعدی به مدت ۲-۳ ماه در دمای یخچال نگهداری شد (Moghadami et al. 2019). محیط پیش کشت، حاوی ۲۰ گرم بر لیتر سوربیتول، ۳ گرم بر لیتر عصاره مخمر و ۳ گرم بر لیتر پپتون بود و محیط کشت تولید، حاوی ۱۱۰ گرم بر لیتر سوربیتول، ۲۵ گرم بر لیتر عصاره مخمر، ۳۵ گرم بر لیتر پپتون، ۰/۵ گرم بر لیتر  $\text{KH}_2\text{PO}_4$  و ۰/۵۵ گرم بر لیتر  $\text{MgSO}_4$  بود. همه آزمایش‌ها در فلاسک‌های ۲۵۰ میلی لیتری حاوی ۱۰۰ میلی لیتر محیط کشت انجام شد. پس از تلقیح، فلاسک‌ها به مدت ۲۴ ساعت در دمای ۳۰ درجه سانتیگراد با سرعت ۱۸۰ rpm در انکوباتور نگهداری شدند (Moghadami et al. 2021).

**آماده سازی عصاره سلولی:** جهت تهیه بیومس، محتوای فلاسک‌ها در ۱۲۰۰۰rpm به مدت ۲۰ دقیقه سانتریفوژ شد. سپس سلول‌ها در بافر پتاسیم فسفات ۰/۱ M با pH=۶ سوسپانسیون شدند. جهت تهیه عصاره سلولی از دستگاه سونیکاتور استفاده شد. سونیکاسیون در ۴ مرحله انجام گرفت. هر مرحله شامل ۱۰ دقیقه سونیکاسیون با فواصل ۵ دقیقه استراحت انجام گرفت. توان استفاده شده در این بررسی ۱۰۰ وات بود. بعد از اتمام مراحل فوق سلول‌های شکسته نشده توسط سانتریفوژ در ۸۰۰۰rpm به مدت ۵ دقیقه جدا شدند. مایع رویی شامل عصاره سلولی بود (Ameyama et al. 1985).

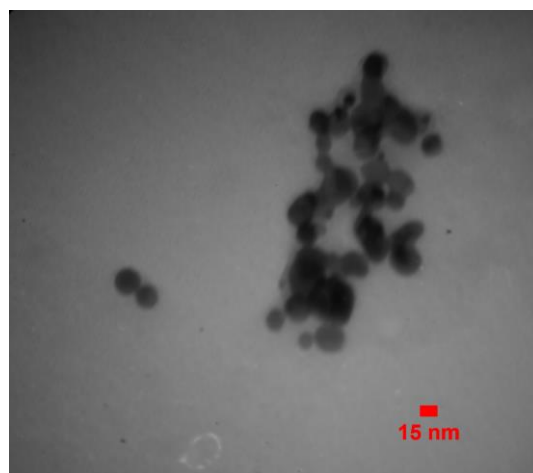
**سنجش فعالیت آنزیم:** به منظور اندازه گیری فعالیت گلیسرول دهیدروژناز، آنزیم موجود در عصاره سلولی در معرض گلیسرول به عنوان سوبسترا قرار گرفت. مواد زیر به داخل لوله‌های آزمایش افزوده شدند: بافر MacIlvaine ۰/۵ میلی لیتر، عصاره سلولی حاوی آنزیم ۰/۱ میلی لیتر، گلیسرول ۰/۲ میلی لیتر و ۱۰۰-x

زنجیره‌ای از واکنش‌های درون سلولی و برهمکنش‌های مستقیم نانوذره نقره با غشای سلولی. در واقع اثر بر پروتئین‌ها و آنزیم‌ها، گرادیان پروتون، نفوذپذیری غشاء، جذب سلولی که باعث تولید گونه‌های فعال اکسیژن و آزادسازی داخل سلولی یون‌های نقره برای جلوگیری از تکثیر دی‌ان‌ای و سنتز ATP از جمله مواردی هستند که مطرح شده‌اند (Saleh et al. 2021; Hajipour et al. 2017; Calderon et al. 2012).

ما در پژوهش قبلی، تاثیر نانوذره نقره بر تولید کوانزیم Q<sub>10</sub> توسط باکتری *Gluconobacter japonicus* FM10 را مورد بررسی قرار دادیم و نتایج مشخص کرد که افزودن نانوذره به محیط کشت باکتری، سبب افزایش تولید کوانزیم Q<sub>10</sub> شد (Moghadami et al. 2020). در این پژوهش، برای پاسخ به این سوال که آیا نانوذره نقره با تاثیر مستقیم بر آنزیم گلیسرول دهیدروژناز، یکی از آنزیم‌های زنجیره تنفسی سبب افزایش کوانزیم Q<sub>10</sub> می‌شود، اثر نانوذره نقره بر آنزیم گلیسرول دهیدروژناز را مورد بررسی قرار دادیم. جهت مطالعه بهتر، تاثیر غلظت‌های مختلف نانوذره نقره در pH و دماهای مختلف با کمک روش سطح پاسخ بر آنزیم گلیسرول دهیدروژناز مورد مطالعه قرار گرفت.

## مواد و روش‌ها

**مواد شیمیایی:** نانوذره نقره (AgNPs) با ابعاد ۲۰ نانومتر (شکل ۱) از شرکت US Research Nanomaterials Co. (آمریکا) خریداری شد.



شکل ۱- تصویر میکروسکوپ الکترونی عبوری از نانوذره نقره

Fig 1. Transmission Electron micrograph of silver nanoparticles

برای تحلیل‌های آماری به کار برده شده را نشان می‌دهد. لازم به ذکر است که کلیه آزمون‌های آماری مربوط به ANOVA و ضرایب رگرسیونی در سطح ۵٪ انجام شد.

جدول ۱- سطوح مختلف متغیرهای مستقل در طرح مرکب مرکزی

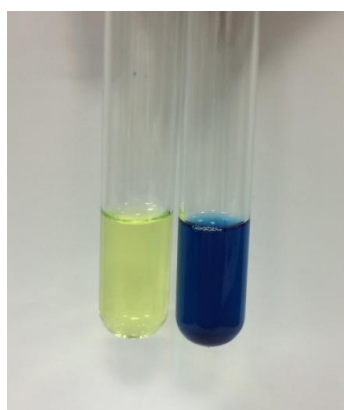
**Table 1.** Levels of independent variables used for designing of the central composition design

| Parameters      | Levels   |    |    |    |         |
|-----------------|----------|----|----|----|---------|
|                 | -1.68179 | -1 | 0  | 1  | 1.68179 |
| AgNPs (mg/L)    | 0        | 20 | 50 | 80 | 100.45  |
| pH              | 3.64     | 5  | 7  | 9  | 10.36   |
| Temperature (C) | 26.59    | 30 | 35 | 40 | 43.41   |

## نتایج و بحث

### سنجش فعالیت آنزیم گلیسرول دهیدروژناز:

در روش سنجش آنزیم در عصاره سلولی در صورت مثبت بودن واکنش، با ایجاد غلظت‌های مختلفی از رنگ آبی، فعالیت آنزیم گلیسرول دهیدروژناز سنجیده شد. شکل ۲ نشان دهنده یک واکنش مثبت (آبی) و یک واکنش منفی (زرد) است. فعالیت آنزیم گلیسرول دهیدروژناز بر اساس U/L به دست آمد که در جدول ۲ دیده می‌شود.



شکل ۲- یک واکنش مثبت (آبی) و یک واکنش منفی (زرد)

**Fig 2.** The positive enzymatic reaction (Prussian blue) and the negative enzymatic reaction (yellow)

triton (۱۰٪) ۰/۱ میلی لیتر. جهت تهیه شاهد نیز، عصاره سلولی حرارت داده شده (آنزیم غیر فعال) استفاده شد. برای شروع واکنش، ۰/۱ میلی لیتر پتاسیم فری سیانید (Potassium ferricyanide) به لوله‌ها افزوده شده و لوله‌ها به مدت ۵ دقیقه دردمای آزمایشگاه نگهداری شدند. در انتها برای اتمام واکنش، ۰/۱ میلی لیتر معرف سولفات فریک دوپانول (۵ گرم  $Fe_2(SO_4)_3 \cdot nH_2O$  و ۳ گرم سدیم دودسیل سولفات، ۹۵ میلی لیتر اسید فسفریک ۸۵٪ و آب مقطر تا حجم یک لیتر) به لوله افزوده شد. پس از گذشت ۲۰ دقیقه، ۳/۵ میلی لیتر آب به لوله‌ها افزوده شد و میزان جذب محلول حاصل در طول موج ۶۶۰ نانومتر توسط دستگاه اسپکتروفتومتر خوانده شد (Ameyama *et al.* (1985).

اثر نانوذره نقره بر فعالیت گلیسرول دهیدروژناز در دما و pHهای مختلف: جهت بررسی تاثیر نانوذره نقره بر فعالیت آنزیم گلیسرول دهیدروژناز، فعالیت آنزیم در دماها و pHهای مختلف در حضور غلظت‌های مختلف نانوذره نقره سنجش شدند. مقادیر استفاده شده در جدول ۱ و ۲ دیده می‌شود. به طور کلی ۲۰ آزمایش مختلف با نسبت‌های مختلفی از هر سه پارامتر انجام شد. جهت تنظیم pHهای مختلف نیز از بافر MacIlvaine با pHهای مختلف طبق جدول استفاده شد.

آنالیز آماری: به منظور بررسی تاثیر نانوذره نقره بر فعالیت آنزیم گلیسرول دهیدروژناز در pH و دماهای مختلف و همچنین بررسی تداخل عوامل غلظت نانوذره، pH و دما با یکدیگر و با آنزیم، از روش سطح پاسخ با طرح مرکب مرکزی شامل سه عامل استفاده شد. این عوامل که به عنوان متغیرهای مستقل در نظر گرفته شدند، عبارتند از غلظت نانوذره نقره (AgNPs)، pH و دما (Temperature). فعالیت آنزیم گلیسرول دهیدروژناز (GLDH) نیز به عنوان متغیر پاسخ در نظر گرفته شد. کلیه تحلیل‌های آماری مربوط به RSM از جمله پیاده‌سازی طرح مرکب مرکزی و تحلیل واریانس (ANOVA) با استفاده از نرم افزار Minitab ویرایش 20.4 انجام شد. در جدول ۱، سطوح مختلف متغیرهای مستقل در طرح مرکب مرکزی نشان داده شده‌اند. جدول ۲ نیز، داده‌های مربوط به ۲۰ آزمایش انجام شده به کمک طرح مرکب مرکزی که

اثرات خطی هستند. در مدل فوق  $b_{ii}$  ها و  $b_{ij}$  ها به ترتیب نشان دهنده ضرایب اثرات توان دوم و ضرایب اثرات متقابل هستند.

به منظور بررسی تاثیر نانوذره نقره بر فعالیت آنزیم گلیسرول دهیدروژناز در pH و دماهای مختلف با استفاده از روش سطح پاسخ، مدل رگرسیونی به دست آمد که در آن، AgNPs، pH، Temperature و GLDH به ترتیب نشان دهنده غلظت نانوذره نقره، سطح pH، دما و میزان فعالیت آنزیم گلیسرول دهیدروژناز است. طبق معادله به دست آمده هر سه عامل غلظت نانوذره نقره، سطح pH، دما بر میزان فعالیت آنزیم گلیسرول دهیدروژناز موثر می‌باشند:

$$\text{Temperature} + 0.998 \text{ pH} + 1.329 \text{ AgNPs} + 10.775 - 14.616 \text{GLDH} = (\text{Temperature})^2 / 0.08 - (\text{pH})^2 / 0.08 - (\text{AgNPs})^2 / 0.63$$

جدول ۳، نتایج مربوط به ANOVA مدل رگرسیونی نشان می‌دهد. با مقایسه آخرین ستون این جدول (P-Value) با سطح معنی داری ۰/۰۵ می‌توان نتیجه گرفت که همه اثرات خطی و مربعی متغیرهای مستقل از نظر آماری معنی‌دار هستند ( $P\text{-value} < 0.05$ ). به عبارت دیگر، هر سه عامل غلظت نانوذره نقره، pH و دما بر میزان فعالیت آنزیم گلیسرول دهیدروژناز تاثیرگذار هستند. لازم به ذکر است که مقدار ضریب تعیین تعدیل یافته مدل رگرسیونی برابر با ۹۷/۶۹ درصد است و نشان دهنده قدرت بالای آن در مدل سازی و برازش داده‌هاست.

جدول ۳- جدول ANOVA برای مدل رگرسیونی

Table 3. Regression analysis by ANOVA

| Source                     | DF | Adj SS  | Adj MS  | F-Value | P-Value |
|----------------------------|----|---------|---------|---------|---------|
| Model                      | 6  | 1783.47 | 297.24  | 135.11  | 0.000   |
| Linear                     | 3  | 1623.32 | 541.11  | 245.95  | 0.000   |
| AgNPs                      | 1  | 1585.59 | 1585.59 | 720.71  | 0.000   |
| pH                         | 1  | 24.13   | 24.13   | 10.97   | 0.006   |
| Temperature                | 1  | 13.6    | 13.6    | 6.18    | 0.027   |
| Square                     | 3  | 160.15  | 53.38   | 24.26   | 0.000   |
| (AgNPs) <sup>2</sup>       | 1  | 35.19   | 35.19   | 15.99   | 0.002   |
| (pH) <sup>2</sup>          | 1  | 58.12   | 58.12   | 26.42   | 0.000   |
| (Temperature) <sup>2</sup> | 1  | 58.12   | 58.12   | 26.42   | 0.000   |
| Error                      | 13 | 28.6    | 2.2     |         |         |
| Lack-of-Fit                | 8  | 26.89   | 3.36    | 9.84    | 0.011   |
| Pure Error                 | 5  | 1.71    | 0.34    |         |         |
| Total                      | 19 | 1812.07 |         |         |         |

جدول ۴ مقدار برآورد ضرایب مدل رگرسیونی را به همراه T-Value و P-Value نشان می‌دهد. مقادیر P-Value این جدول

جدول ۲- مقادیر متغیرهای مستقل و پاسخ در طرح مرکب مرکزی

Table 2. independent variables and central composite design responses

| Run | AgNPs (mg/L) | pH    | Temperature (C) | GLDH (U/L) |
|-----|--------------|-------|-----------------|------------|
| 1   | 50           | 7     | 35              | 14         |
| 2   | 20           | 9     | 30              | 22         |
| 3   | 20           | 5     | 30              | 19         |
| 4   | 20           | 9     | 40              | 24.5       |
| 5   | 80           | 9     | 40              | 1.5        |
| 6   | 50           | 7     | 43.41           | 11.5       |
| 7   | 80           | 5     | 40              | 42         |
| 8   | 100.45       | 7     | 35              | 0.2        |
| 9   | 0            | 7     | 35              | 39         |
| 10  | 50           | 3.64  | 35              | 5.5        |
| 11  | 80           | 9     | 30              | 1.4        |
| 12  | 20           | 5     | 40              | 22.5       |
| 13  | 50           | 7     | 35              | 15         |
| 14  | 50           | 7     | 26.59           | 7.5        |
| 15  | 50           | 7     | 35              | 14.5       |
| 16  | 80           | 5     | 30              | 1.2        |
| 17  | 50           | 7     | 35              | 15.5       |
| 18  | 50           | 7     | 35              | 14         |
| 19  | 50           | 10.36 | 35              | 13.5       |
| 20  | 50           | 7     | 35              | 14.5       |

اثر نانوذره نقره بر فعالیت گلیسرول دهیدروژناز در دما و pHهای مختلف:

جهت بررسی تاثیر نانوذره نقره بر فعالیت آنزیم گلیسرول دهیدروژناز در pH و دماهای مختلف، از روش آماری سطح پاسخ استفاده شد. پس از انجام ۲۰ آزمایش، میزان فعالیت آنزیم گلیسرول دهیدروژناز بر اساس U/L به دست آمد. مدل رگرسیونی به کار رفته در RSM به صورت زیر است:

$$Y = b_0 + \sum b_i X_i + \sum b_{ii} X_i^2 + \sum_i \sum_j b_{ij} X_i X_j$$

وقتی که Y متغیر پاسخ بوده و  $X_i$  ها متغیرهای مستقل یا همان عوامل هستند.  $b_0$  جمله ثابت بوده و  $b_i$  ها نشان دهنده ضرایب

۱۰/۷۷۵-). پس از آن pH با ضریب  $+1/329$  قرار داشت که تاثیر آن اندکی بیش از دما با ضریب  $+0/998$  بود.

مطالعات بسیاری بر روی عوامل موثر بر آنزیمها (Azimi et al. 2018) به ویژه اثر نانوذره بر فعالیت آنزیمها انجام گرفته است (Porzani et al. 2021; Wu et al. 2009; Mahmudi et al. 2016). برخی از مطالعات نشان داده است که استفاده از نانوذره برای تثبیت دهیدروژنازها باعث افزایش عملکرد آنها می شود (Liao et al. 2001; Li et al. 2008; Alam et al. 2015). در حالیکه برخی دیگر عموماً مشخص کرده اند که عمل ضد میکروبی نانوذره نقره از طریق مهار آنزیمهای حیاتی مانند دهیدروژنازها انجام می شود (Calzolari et al. 2010; Cha et al. 2015). به عنوان مثال، لی و همکاران گزارش کردند که فعالیت دهیدروژنازهای زنجیره تنفسی در اشریشیاکلی توسط نانوذره نقره به روشی وابسته به دوز مهار می شود (Barbalinardo et al. 2018). همچنین، فعالیت های آگرونزیم خاک، به ویژه برای دهیدروژنازها، تحت تاثیر نانوذره نقره پوشش داده شده با سیترات قرار گرفت (Li et al. 2018). بالنده و همکاران اثر نانوذره نقره بر فعالیت آنزیم دهیدروژناز را بررسی کردند. نتایج نشان داد که نانوذره نقره در غلظت کمتر از ۱۰ میلی گرم بر کیلوگرم، سبب افزایش فعالیت دهیدروژناز شد ولی در مقادیر بالاتر از این غلظت، اثر معکوس داشت و مهار فعالیت دهیدروژناز را در پی داشت (Balandeh et al. 2022). در بررسی که بر روی تاثیر نانوذره نقره بر آنزیم لوسیفرز کرم شب تاب انجام دادند، مشخص شد که نانوذره نقره سبب مهار آنزیم لوسیفرز می شود که می تواند به تعامل نقره با گروه تیول این آنزیم بستگی داشته باشد (Kakinen et al. 2013). مطالعه دیگری نشان داد که ۰٫۱ میلی گرم بر لیتر از نانوذره نقره سبب مهار فعالیت آنزیم گلیسرالدهید-۳-فسفات دهیدروژناز می شود. وجود گروه تیول در محل فعال آنزیم، عامل اصلی مؤثر بر تاثیر عنصر نقره بر فعالیت آنزیم عنوان شد (Jiang et al. 2015).

نیز تایید کرد که همه ضرایب مدل رگرسیونی از نظر آماری معنی دار هستند ( $P\text{-value} < 0.05$ ). این موضوع در شکل ۳ به وضوح قابل رویت است. شکل ۳، نمودار پراکنش میزان فعالیت آنزیم گلیسرول دهیدروژناز در مقابل غلظت نانوذره نقره، دما و pH به همراه منحنی مربوط به مدل رگرسیونی را نشان می دهد.

جدول ۴- برآورد ضرایب رگرسیونی

| Term                       | Coef    | SE Coef | T-Value | P-Value |
|----------------------------|---------|---------|---------|---------|
| Constant                   | 14.616  | 0.605   | 24.16   | 0.000   |
| AgNPs                      | -10.775 | 0.401   | -26.85  | 0.000   |
| pH                         | 1.329   | 0.401   | 3.31    | 0.006   |
| Temperature                | 0.998   | 0.401   | 2.49    | 0.027   |
| (AgNPs) <sup>2</sup>       | 1.563   | 0.391   | 4       | 0.002   |
| (pH) <sup>2</sup>          | -2.008  | 0.391   | -5.14   | 0.000   |
| (Temperature) <sup>2</sup> | -2.008  | 0.391   | -5.14   | 0.000   |

در پژوهش قبلی تاثیر نانوذره نقره را بر تولید کوانزیم Q10 در باکتری *Gluconobacter japonicus* FM10 مورد بررسی قرار دادیم. نتایج نشان داد که افزودن نانوذره نقره به محیط کشت، سبب افزایش تولید کوانزیم Q10 می شود (Moghadami et al. 2020). ولی مشخص نیست که آیا نانوذره با تاثیر بر آنزیم های دخیل در زنجیره تنفسی مانند گلیسرول دهیدروژناز سبب افزایش تولید می شود یا خیر؟ از اینرو در این پژوهش، اثر نانوذره نقره بر آنزیم گلیسرول دهیدروژناز مورد بررسی قرار گرفت.

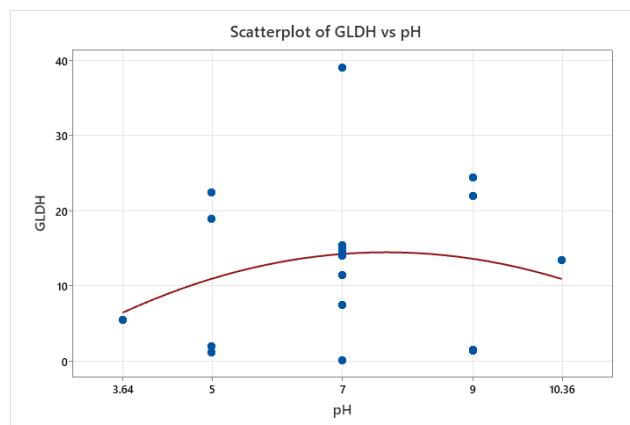
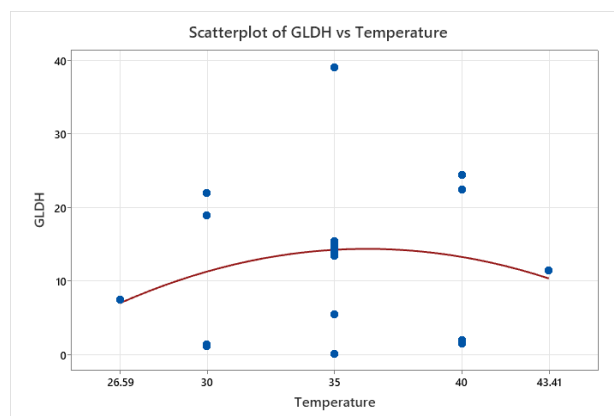
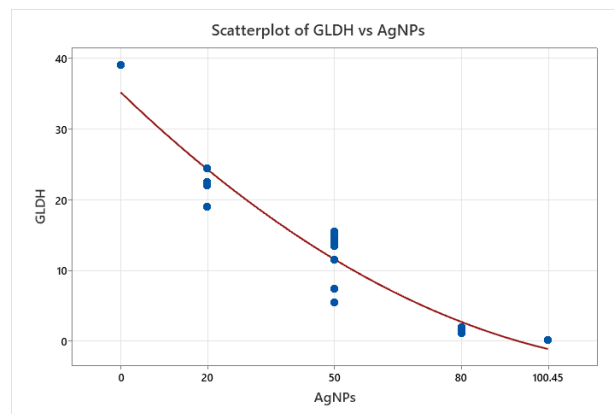
نتایج پژوهش حاضر مشخص کرد که هر سه پارامتر دما، pH و غلظت نانوذره نقره بر فعالیت آنزیم گلیسرول دهیدروژناز موثر بودند. افزایش غلظت نانوذره نقره سبب کاهش فعالیت آنزیم گلیسرول دهیدروژناز شد. اما تاثیر آن خطی نبود. در واقع آنطور که از مدل رگرسیونی مشخص است با افزایش غلظت نانوذره نقره، میزان فعالیت آنزیم گلیسرول دهیدروژناز کاهش می یابد؛ ولی شدت این کاهش ثابت نبوده و به تدریج کم می شود. یعنی غلظت نانوذره تا ۵۰ میلی گرم بر لیتر، تاثیرگذاری قابل توجهی بر مهار آنزیم دارد ولی بعد از این غلظت، اثر مهارکنندگی نانوذره کاهش می یابد. با توجه به ضرایب به دست آمده در معادله رگرسیونی، از میان عوامل مورد بررسی، تاثیر غلظت نانوذره بر فعالیت آنزیم، بیش از عوامل دیگر بود (ضریب غلظت نانوذره

آن جهت توجیه اثر نانوذره نقره بر آنزیم گلیسرول دهیدروژناز استفاده کرد.

مشخص شده است که اثر یک نانوذره بر یک آنزیم، بستگی به نوع آنزیم و نیز اندازه، شکل و نوع نانوذره دارد (Cabaleiro- Lago *et al.* 2020). بررسی‌ها نشان داده است که ذرات کوچکتر از ۲۰ نانومتر تاثیرگذاری بیشتری در تعامل با آنزیم‌ها دارند (Batista *et al.* 2015; Patra *et al.* 2022). اندازه ذرات نانوذره نقره مورد استفاده در این پژوهش نیز ۲۰ نانومتر بود که می‌تواند نشانگر تاثیرگذاری بیشتر نانوذره بر آنزیم باشد.

نتایج حاصل از مدل رگرسیونی و منحنی‌های پراکنش نشان داد که دما و pH تاثیر مستقیمی بر فعالیت آنزیم گلیسرول دهیدروژناز دارند به طوری که با افزایش آنها، میزان فعالیت آنزیم گلیسرول دهیدروژناز افزایش می‌یابد؛ ولی این افزایش دائمی نبوده و اگر pH بیشتر از ۷ و دما، بالاتر از ۳۵ درجه سانتیگراد باشد، میزان فعالیت آنزیم گلیسرول دهیدروژناز به تدریج کم می‌شود. بررسی اثر نانوذره بر فعالیت آنزیم‌ها در شرایط مختلف محیطی نشان داده است که پارامترهای محیطی می‌توانند با ایجاد تداخل، بر پاسخ آنزیم‌ها در برابر اثر نانوذره تاثیر بگذارند (Nel *et al.* 2009; Xia *et al.* 2011). به طور مثال بررسی اثر نانوذره پلی استایرن با اندازه‌های مختلف در pHهای مختلف بر آنزیم کربونیک انهدراز انسانی نشان داد که pH و اندازه نانوذره بر تاثیر یکدیگر بر فعالیت آنزیم موثر بودند (Assarsson *et al.* 2016). این در حالیست که در این پژوهش، هر سه پارامتر دما، pH و غلظت نانوذره مستقل از یکدیگر بر فعالیت آنزیم گلیسرول دهیدروژناز تاثیرگذار بودند.

نتایج این پژوهش نشان داد که نانوذره نقره می‌تواند سبب کاهش فعالیت آنزیم گلیسرول دهیدروژناز شوند که نهایتاً می‌تواند سبب کاهش فعالیت زنجیره تنفسی و تولید انرژی در باکتری *گلوکونوباکتر* شود. اگرچه تعامل بین پروتئین‌ها و نانوذره نقره به طور گسترده مورد مطالعه قرار گرفته است، ولی برای درک بهتر تاثیر نانوذره بر آنزیم گلیسرول دهیدروژناز وابسته به PQQ نیاز به مطالعات بیشتری می‌باشد.



شکل ۳- نمودار پراکنش فعالیت آنزیم گلیسرول دهیدروژناز در مقابل غلظت

نانوذره نقره، دما و pH به همراه منحنی رگرسیونی

Fig 3. Scatterplot of GLDH activity against silver nanoparticles concentration, temperature and pH along with regression curve

بنابراین می‌توان گفت آنزیم‌هایی که یک گروه تیول در محل فعال خود دارند می‌توانند نسبت به سایر آنزیم‌ها در مقابل نقره حساس‌تر باشند (Srivastava *et al.* 2012; Cha *et al.* 2015). با جستجو در سایت PDB (Protein Data Bank) اطلاعاتی در باره وجود یا عدم وجود گروه تیول در محل اکتیوسایت آنزیم گلیسرول دهیدروژناز وابسته به PQQ به دست نیامد که بتوان از

## منابع

- Adachi, O., Moonmangmee, D., Toyama, H., Yamada, M., & Shinagawa, E. (2003). New development in oxidative fermentation. *Applied Microbiology Biotechnology*, 60(6), 643-653. doi: 10.1007/s00253-002-1155-9
- Adachi, O., & Yakushi, T. (2016). Membrane-bound dehydrogenases of acetic acid bacteria. In K. Matsushita, H. Toyama, N. Tonouchi, & A. Okamoto-Kainuma (Eds.), *Acetic Acid Bacteria* (pp. 273-294). Springer. doi:10.1007/978-4-431-55933-7\_13
- Alam, F., Laskar, A. A., Zubair, M., Baig, U., & Younus, H. (2015). Immobilization of yeast alcohol dehydrogenase on polyaniline coated silver nanoparticles formed by green synthesis. *Journal of Molecular Catalysis B: Enzymatic*, 119, 78-84. doi:10.1016/j.molcatb.2015.06.004
- Ameyama, M., Shinagawa, E., Matsushita, K., & Adachi, O. (1985). Solubilization, purification and properties of membrane-bound glycerol dehydrogenase from *Gluconobacter industrius*. *Agriculture Biological Chemistry*, 49(4), 1001-1010. doi:10.1271/bbb1961.49.1001
- Assarsson, A., Nasir, I., Lundqvist, M., & Cabaleiro-Lago, C. (2016). Kinetic and thermodynamic study of the interactions between human carbonic anhydrase variants and polystyrene nanoparticles of different size. *Rsc Advances*, 6(44), 35868-35874. doi:10.1039/C6RA06175C
- Azimi, S., Rahmani, S., & Majidianii, S. (2018). Inhibition of the boll worm, *Helicoverpa armigera* amyloetetic activity by seed protein extracts of *Prosopis farcta* and *Cicer arietinum*. *Genetic Engineering and Biosafety Journal*, 6(2), 333-341. DOR: 20.1001.1.25885073.1396.6.2.4.8
- Balandeh, S., Lakzian, A., & Javadmanesh, A. (2022). Effects of Silver Nanoparticles on Soil Microbial Activity and Bacterial Populations in a Calcareous Soil Using qPCR. *Journal of Water and Soil*, 35(6), 843-859. doi:10.22067/JSW.2021.67908.1004
- Barbalinardo, M., Caicci, F., Cavallini, M., & Gentili, D. (2018). Protein Corona Mediated Uptake and Cytotoxicity of Silver Nanoparticles in Mouse Embryonic Fibroblast. *Small*, 14(31), e1801219. doi: 10.1002/sml.201801219
- Batista, C.A., Larson R.G., & Kotov N.A. (2015). Nonadditivity of nanoparticle interactions. *Science*, 350(6257), 1242477. doi: 10.1126/science.1242477
- Cabaleiro-Lago, C., & Lundqvist, M. (2020). The Effect of Nanoparticles on the Structure and Enzymatic Activity of Human Carbonic Anhydrase I and II. *Molecules*, 25(19), 4405. doi:10.3390/molecules25194405
- Calderon-Jiménez, B., Johnson, M.E., Montoro Bustos, A.R., Murphy, K.E., Winchester, M.R., & Vega Baudrit, J.R. (2017). Silver Nanoparticles: Technological Advances, Societal Impacts, and Metrological Challenges. *Frontiers in Chemistry*, 5, 6. doi:10.3389/fchem.2017.00006
- Calzolari, L., Franchini, F., Gilliland, D., & Rossi, F. (2010). Protein-nanoparticle interaction: identification of the ubiquitin-gold nanoparticle interaction site. *Nano Letters*, 10(8), 3101-5. doi:10.1021/nl101746v
- Cha, S.H., Hong, J., McGuffie, M., Yeom, B., VanEpps, J.S., & Kotov, N.A. (2015). Shape-Dependent Biomimetic Inhibition of Enzyme by Nanoparticles and Their Antibacterial Activity. *ACS Nano*, 9(9), 9097-9105. doi:10.1021/acsnano.5b03247
- Ciriminna, R., Fidalgo, A., Ilharco, L.M., & Pagliaro, M. (2018). Dihydroxyacetone: An Updated Insight into an Important Bioproduct. *ChemistryOpen*, 7(3), 233-236. doi:10.1002/open.201700201
- Hajipour, M.J., Fromm, K.M., Ashkarran, A.A., Jimenez de Aberasturi, D., de Larramendi, I.R., Rojo, T., Serpooshan V., Parak W.J., & Mahmoudi M. (2012). Antibacterial properties of nanoparticles. *Trends in Biotechnology*, 30(10), 499-511. doi:10.1016/j.tibtech.2012.06.004
- Jiang X., Miclaus T., Wang L., Foldbjerg R., Sutherland D.S., Autrup H., Chen C., & Beer C. (2015). Fast intracellular dissolution and persistent cellular uptake of silver nanoparticles in CHO-K1 cells: Implication for cytotoxicity. *Nanotoxicology*, 9(2), 181-189. doi:10.3109/17435390.2014.907457
- Kakinen A., Ding F., Chen P., Mortimer M., Kahru A., & Ke P.C. (2013). Interaction of firefly luciferase and silver nanoparticles and its impact on enzyme activity. *Nanotechnology*, 24(34), 345101. doi:10.1088/0957-4484/24/34/345101
- Li A., Lin J., Huang Z., Wang X., & Guo L. (2018). Surface-Enhanced Raman Spectroscopy on Amorphous Semiconducting Rhodium Sulfide Microbowl Substrates. *Science*, 21(10):1-10. doi:10.1016/j.isci.2018.11.017
- Li, G.Y., Huang, K.L., Jiang, Y.R., Yang, D.L., & Ding, P. (2008). Preparation and characterization of *Saccharomyces cerevisiae* alcohol dehydrogenase immobilized on magnetic nanoparticles. *International Journal of Biological Macromolecules*, 42(5), 405-12. doi:10.1016/j.ijbiomac.2008.01.005
- Liao, M.H., & Chen, D.H. (2001). Immobilization of yeast alcohol dehydrogenase on magnetic nanoparticles for improving its stability. *Biotechnology Letters*, 23, 1723-1727. doi:10.1023/A:1012485221802
- Mahmoudi, M., Bertrand, N., Zope, H., & Farokhzad, O.C. (2016). Emerging understanding of the protein corona at the nano-bio interfaces. *Nano Today*, 11, 817-832. doi:10.1016/j.nantod.2016.10.005
- Matsushita, K., Fujii, Y., Ano, Y., Toyama, H., Shinjoh, M., Tomiyama, N., Sugisawa, T., Hoshino, T., & Adachi O. (2003). 5-Keto-D-gluconate production is catalyzed by a quinoprotein glycerol dehydrogenase, major polyol dehydrogenase, in *Gluconobacter* species. *Applied Environment Microbiology*, 69(4), 1959-1966. doi: 10.1128/AEM.69.4.1959-1966.2003

- Moghadami, F., Hosseini, R., Fooladi, J., & Kalantari, M. (2021). Optimization of Coenzyme Q10 Production by *Gluconobacter japonicus* FM10 Using Response Surface Methodology. *Journal of Applied Biotechnology Reports*, 8(2), 172-179. doi: 10.30491/jabr.2021.130940
- Moghadami F., Fooladi J., & Hosseini R.(2019). Introducing a thermotolerant *Gluconobacter japonicus* strain, potentially useful for coenzyme Q10 production. *Folia Microbiologica*, 64(4),471-479. doi:10.1007/s12223-018-0666-4
- Moghadami F., & Hosseini R.(2020). Effect of iron and silver nanoparticles on coenzyme Q10 production by *Gluconobacter japonicus* FM10. *Iranian Journal of Microbiology*, 12(6),592-600. doi:10.18502/ijm.v12i6.5034
- Nel A.E., Madler L., Velegol D., Xia T., Hoek E.M., Somasundaran P., Klaessig F., Castranova V., & Thompson M.(2009). Understanding biophysicochemical interactions at the nano-bio interface. *Nature Mater*, 8(7),212-220. doi: 10.1038/nmat2442
- Patra, I., Huy, D.T.N., & Alsaikhan, F. (2022). Toxic effects on enzymatic activity, gene expression and histopathological biomarkers in organisms exposed to microplastics and nanoplastics: a review. *Environmental Sciences Europe*, 34, 80. doi:10.1186/s12302-022-00652-w
- Porzani, S.J., Lorenzi, A.S., Eghtedari, M., & Nowruzi, B. (2021). Interaction of Dehydrogenase Enzymes with Nanoparticles in Industrial and Medical Applications, and the Associated Challenges: A Mini-review. *Mini Reviews in Medical Chemistry*, 21(11), 1351-1366. doi:10.2174/1570193X17666201119152944
- Saleh, F., Hosseini, F., Kheirandish, F., & Yazdian, F. (2021). Evaluation of the Inhibitory Effect of Biosynthetic Zinc Oxide Nanoparticles on the Expression of Efflux Pumps Genes (AdeA, AdeC) in Clinical Strains of *Acinetobacter baumannii*. *Genetic Engineering and Biosafety Journal*, 10(1), 1-10. URL: DOR: 20.1001.1.25885073.1400.10.1.4.4
- Silva, G.A.R., Oliveira, S.S.S., Lima, S.F., do Nascimento, R.P., Baptista, A.R.S., & Fiaux, S.B. (2022). The industrial versatility of *Gluconobacter oxydans*: current applications and future perspectives. *World J Microbiol Biotechnol*, 38(8), 134. doi:10.1007/s11274-022-03310-8
- Srivastava, M., Singh, S., & Self, W.T. (2012). Exposure to silver nanoparticles inhibits selenoprotein synthesis and the activity of thioredoxin reductase. *Environmental Health Perspective*, 120(1), 56-61. doi:10.1289/ehp.1103928
- Wang, Y., Tao, F., & Xu, P. (2014). Glycerol dehydrogenase plays a dual role in glycerol metabolism and 2,3-butanediol formation in *Klebsiella pneumoniae*. *Journal of Biological Chemistry*, 289(9), 6080-90. doi:10.1074/jbc.M113.525535
- Wu, Z., Zhang, B., & Yan, B. (2009). Regulation of enzyme activity through interactions with nanoparticles. *International Journal of Molecular Sciences*, 10(10), 4198-4209. doi:10.3390/ijms10104198
- Xia, X.R., Monteiro-Riviere, N.A., Mathur, S., Song, X., Xiao, L., Oldenberg, S.J., Fadeel B., & Riviere J.E.(2011). Mapping the Surface Adsorption Forces of Nanomaterials in Biological Systems. *ACS Nano*, 5(11),9074. doi :10.1021/nn203303c